

تعیین سطح بهینه مورد نیاز برای نصب سیستم مولد برق خورشیدی برای یک واحد مسکونی با استفاده از الگوریتم تبرید شبیه‌سازی شده (SA)

محمدحسین شمس^۱، محسن کیا^۲، حبیب‌اله رواقی اردبیلی^۳

تاریخ دریافت مقاله:

۱۳۹۲/۰۴/۱۴

تاریخ پذیرش مقاله:

۱۳۹۲/۰۶/۰۱

چکیده:

سیستم‌های فتوولتائیک یکی از پر مصرف‌ترین و کاربردی‌ترین موارد استفاده از انرژی خورشید محسوب می‌گردند. یکی از کاربردهای اینگونه سیستم‌ها کاربرد خانگی آنهاست. با توجه به مزایای این انرژی پاک در سال‌های اخیر، احداث سیستم‌های فتوولتائیک بر پشت‌بام و شیروانی منازل در کشورهای مختلف از استقبال خوبی برخوردار شده است. از طرفی، گسترش زندگی شهری باعث کاهش فضای کافی برای احداث این قبیل مولد ها شده است. در این شرایط، لزوم استحصال انرژی لازم برای واحدهای مسکونی در فضایی محدود بیش از پیش احساس می‌گردد. در این مقاله، ضمن طراحی ابعاد و چیدمان بهینه پنل‌های خورشیدی (شامل تعداد ردیف، طول و عرض پنل‌ها، فاصله بین پنل‌ها و شیب بهینه پنل‌ها نسبت به افق) برای یک واحد مسکونی با میزان انرژی مورد نیاز مشخص، کمترین مساحت لازم برای تأمین این انرژی به دست آمده است. اثر سایه متقابل پنل‌ها بر روی یکدیگر نیز در این مقاله در نظر گرفته شده است. با توجه به ماهیت غیرخطی تابع هدف و قیود این مسئله، تکنیک‌های بهینه‌سازی هوشمند می‌توانند با دقت و سرعت بالایی پاسخگو به این مسئله باشند. بنابراین، برای این بهینه‌سازی از الگوریتم تبرید شبیه‌سازی شده به عنوان یکی از الگوریتم‌های مناسب استفاده شده است. برای ارزیابی این روش محاسبات به طور نمونه برای تأمین انرژی یک واحد مسکونی واقع در تهران با عرض جغرافیایی ۳۵/۷ درجه شمالی پیاده‌سازی شده است. نتایج حاکی از ابعاد ۲۲ متر مربع برای تأمین انرژی سالانه یک واحد مسکونی با مصرف ۴ مگاوات ساعت در سال خواهد بود. بنابراین، امکان احداث سیستم خورشیدی برای مجتمع‌های مسکونی با توجه به تعداد زیاد واحدها و محدودیت مساحت پشت‌بام وجود نخواهد داشت.

کلمات کلیدی:

نیروگاه فتوولتایی، تابش خورشیدی الگوریتم SA

mshams@alum.sharif.edu
mohsenkia@stud.pwut.ac.ir
h.ravaghi@gmail.com

(۱) کارشناس جهاد دانشگاهی صنعتی شریف
(۲) دانشجوی مقطع دکترا دانشگاه صنعت آب و برق (شهید عباسپور)
(۳) کارشناس دفتر استانداردهای برق و انرژی وزارت نیرو

مقدمه

انرژی خورشیدی عظیم‌ترین منبع انرژی در جهان است. این انرژی پاک، ارزان و بی‌پایان بوده و در بیشتر مناطق کره زمین قابل استحصال می‌باشد. محدودیت منابع فسیلی و پیامدهای حاصل از تغییرات زیست محیطی و آب و هوای جهانی، فرصت‌های مناسبی را برای رقابت انرژی خورشیدی با انرژی‌های فسیلی خصوصاً در کشورهایی با پتانسیل بالای تابش ایجاد نموده است. ایران با توجه به اینکه ۸ تا ۹ ماه از سال از بارش باران بی‌بهره است و در واقع آسمانی صاف دارد، می‌تواند بخش عظیمی از انرژی مورد نیاز خود را از تابش نور خورشید تأمین کند.

در [۱] به استفاده از برق خورشیدی در ساختمان‌های اداری با توجه به سیاست‌های انرژی دولت پرداخته شده است. مراجع [۲] و [۸] به بررسی تغییرات پارامتری طراحی مزرعه خورشیدی پرداخته است اما به حل مسأله بهینه سازی ریاضی اشاره نکرده است. مرجع [۸] مدلی برای نیروگاه خورشیدی با در نظر گرفتن اثر سایه پیشنهاد کرده است. مرجع [۱۴] به تخمین ظرفیت تولید توان خورشیدی به روش شبکه عصبی پرداخته است. مرجع [۱۷] استفاده از نیروگاه خورشیدی در یک منطقه راه دور را مورد بررسی قرار داده است. مراجع [۱۶] و [۱۵] به مروری بر تکنیک‌های هوشمند و کاربردهای آن برای به دست آوردن ابعاد بهینه سیستم‌های فتوولتاییک پرداخته شده است. [۱۹] به شبیه سازی بهینه مزرعه خورشیدی با استفاده از جعبه ابزار بهینه سازی در نرم‌افزار MATLAB پرداخته است. مرجع [۲] روشی برای به دست آوردن زاویه بهینه پنل‌های خورشیدی ثابت در شهرهای مختلف ایران ارائه کرده است. [۳] و [۱۲] به طراحی بهینه ابعاد بهینه پنل-خورشیدی در یک زمین با ابعاد مشخص با استفاده از الگوریتم ازدحام ذرات (PSO) پرداخته‌اند.

در این مقاله، اندازه بهینه پنل‌های خورشیدی و آرایش بهینه پنل‌ها در مزرعه خورشیدی با استفاده از الگوریتم بهینه سازی سرد شدن تدریجی فلزات (SA) با فرمولاسیون ساعتی و در نظر گرفتن اثر سایه متقابل پنل‌ها بر روی یکدیگر، ضمن به دست آوردن مساحت بهینه مورد نیاز برای احداث سیستم خورشیدی برای یک واحد مسکونی با توان معلوم انجام شده است. در ذیل به سازماندهی مقاله اشاره می‌گردد.

در بخش ۲ به برآورد انرژی کمینه یک واحد مسکونی پرداخته می‌شود. در بخش ۳ به بررسی مدل نیروگاه خورشیدی- فتوولتاییک با در نظر گرفتن اثر سایه پرداخته شده است. در بخش ۴ تابع هدف مورد نظر معرفی شده و الگوریتم بهینه‌سازی سرد شدن تدریجی فلزات شناخته می‌شود. در ادامه، تابع هدف بیان شده با استفاده از الگوریتم مذکور برای یک واحد مسکونی در شهر تهران در بخش ۵ پیاده‌سازی و نتایج اعلام شده است. همچنین تجزیه و تحلیل حساسیت نسبت به زاویه شیب پنل و فاصله پنل‌ها نسبت به هم در بخش ۶ انجام شده و در بخش ۷ نیز نتایج مقاله ارائه شده است.

برآورد انرژی یک واحد مسکونی

فرض کنید که یک واحد مسکونی مصارفی طبق جدول (۱) به صورت روزانه داشته باشد. این واحد روزانه مصرفی

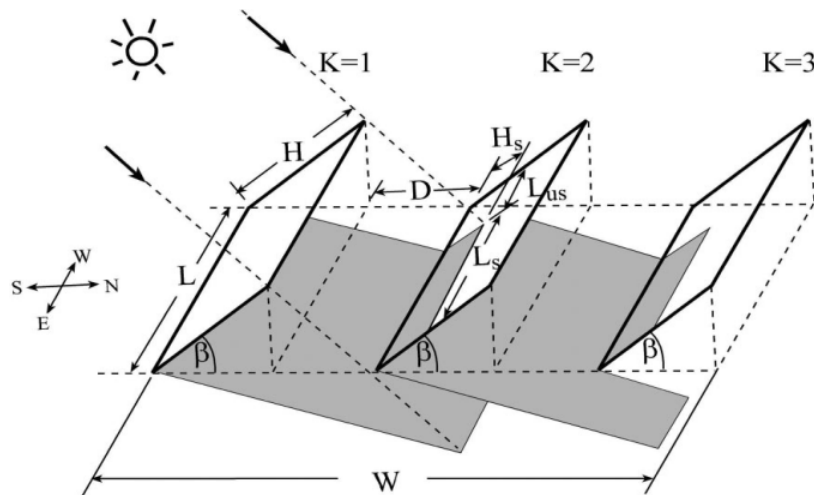
معادل ۱۰/۶ کیلووات ساعت خواهد داشت. مصرف سالانه این واحد برابر $۱۰/۶ \times ۳۶۵$ کیلووات ساعت در سال خواهد بود. بنابراین، حداقل انرژی سالانه تولیدی توسط پنل‌های فتوولتاییک می‌بایست تقریباً معادل ۴ مگاوات ساعت باشد. ($E_{min}=4$ MWh). لازم به توضیح است که این سیستم باید به صورت مستقل از شبکه (با ذخیره‌ساز) طراحی گردد. چرا که در شرایط ابری و یا کاهش پتانسیل تابش، امکان ذخیره سازی و تأمین پیوسته انرژی واحد موجود می‌باشد.

جدول (۱) مصرف انرژی تقریبی روزانه یک واحد مسکونی

۱۴۰۰	۷	۵	۴۰	لامپ روشنایی	۱
۱۰۰۰	۱	۵	۲۰۰	تلویزیون LCD	۲
۱۰۰۰	۱	۱۰	۱۰۰	یخچال	۳
۳۲۰۰	۱	۸	۴۰۰	رایانه	۴
۴۰۰۰	۱	۱۰	۴۰۰	سایر مصارف	۵
۱۰۶۰۰	مجموع مصرف روزانه واحد (Wh)				

مدل نیروگاه فتوولتاییک

برای حل این بهینه‌سازی از قسمت کد نویسی در نرم افزار MATLAB استفاده شده و متغیرهای زاویه شیب، عرض، تعداد ردیف پنل الکتریکی و فاصله بین پنل‌های الکتریکی که در شکل (۱) نشان داده شده، به دست آمده است.



شکل (۱) نمایی از پنل‌های خورشیدی و متغیرهای مربوط

در ابتدا، الگوریتم مدل سازی نیروگاه خورشیدی تشریح می شود. این الگوریتم در سه مرحله به ترتیب بیان خواهد شد:

- مبانی انرژی خورشیدی
- محاسبه تابش خورشید بر روی سطح افقی
- محاسبه میزان تابش روی سطح شیب دار

مبانی انرژی خورشیدی

مقدار متوسط تابش خورشید در واحد زمان به ازای واحد سطحی عمود بر راستای تابش در سطح خارجی جو زمین را ثابت خورشیدی می نامند و با G_{sc} نشان می دهند. مقدار اندازه گیری شده آن که مورد قبول اکثریت مجامع علمی جهان می باشد، معادل 1367 W/m^2 است. میزان تابش در سطح خارجی جو بر روی صفحه ای عمود بر راستای تابش را در هر روز سال می توان از رابطه (۱) محاسبه نمود [۱۰].

$$G_{on} = G_{sc} \left(1 + 0.033 \cos \frac{360n}{365}\right) \quad (1)$$

که در آن G_{on} میزان تابش در سطح خارجی جو را بر روی صفحه ای عمود بر جهت تابش در روز n ام سال نشان می دهد. $n=1$ روز اول ژانویه و $n=365$ ، روز سی و یکم دسامبر می باشد.

δ موقعیت زاویه خورشید در ظهر خورشیدی نسبت به صفحه استوا می باشد که از رابطه (۲) به دست می آید. زاویه انحراف خورشید در طول سال از $+23/45$ درجه تا $-23/45$ درجه تغییر می کند.

$$\delta = 23.45 \sin\left(360 \frac{284+n}{365}\right) \quad (2)$$

زاویه بین راستای تابش مستقیم خورشیدی و راستای عمود بر صفحه افق زاویه زینت (θ_z) می باشد. زاویه بین راستای تابش مستقیم خورشیدی و راستای افق زاویه ارتفاع خورشید (α_s) است که متمم زاویه زینت است. زاویه شیب عبارت از زاویه بین سطح صفحه مورد نظر و سطح افق زاویه شیب صفحه (β) می باشد. زاویه سمت صفحه یا آزیموت (γ) عبارت از انحراف تصویر عمود بر صفحه در یک سطح افقی با نصف النهار محلی می باشد. فاصله زاویه ای تصویر تابش مستقیم بر روی یک صفحه افقی نسبت به امتداد جنوب در آن صفحه زاویه سمت خورشید (γ_s) می باشد. در شکل (۲) زوایای مختلف بخوبی نشان داده شده است.

زاویه برخورد تابش مستقیم را برای هر صفحه تخت با هر زاویه شیب و زاویه سمت در هر نقطه از کره زمین، در هر روز و زمانی می توان از رابطه (۳) محاسبه کرد:

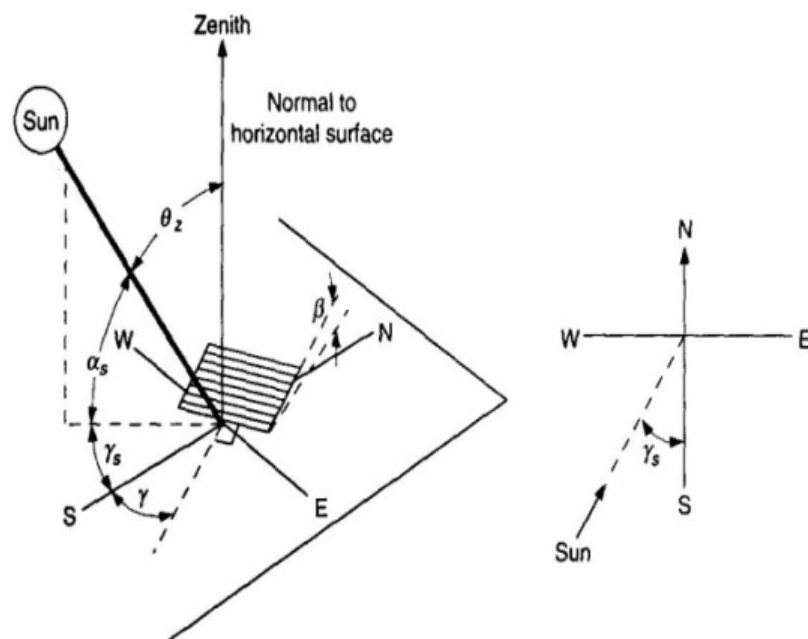
$$\cos \theta_z = \sin \delta \sin(\phi - \beta) + \cos \delta \cos(\phi - \beta) \cos \omega \quad (3)$$

که در آن ω از رابطه (۴) محاسبه می‌گردد که t زمان خورشیدی می‌باشد و ϕ عرض جغرافیایی می‌باشد.

$$\omega = 15(t - 12) \quad (۴)$$

هنگام طلوع و غروب، خورشید نسبت به افق یک نقطه یا نسبت به یک صفحه افقی در سطح زمین $\alpha = 0$ یا $\theta_z = 90^\circ$ می‌باشد. با توجه به این نکته و با استفاده از رابطه (۳)، زوایای ساعت طلوع و غروب خورشید ω_s را برای صفحات با شیب β که کاملاً به سمت جنوب می‌باشند می‌توان مطابق رابطه (۵) محاسبه نمود:

$$\omega_s = \pm \frac{1}{15} A \operatorname{rccos}(-\tan \delta \tan(\phi - \beta)) \quad (۵)$$



شکل ۲) نمایش زوایای مختلف

محاسبه تابش خورشید بر روی سطح افقی

میزان تابش در سطح خارجی جو به مقدار بسیار ناچیزی در طول سال تغییر می‌کند، در حالی که میزان تابش در روی زمین بستگی به عوامل متعدد جوی دارد. با استفاده از رابطه (۶) می‌توان میزان تابش انرژی خورشیدی بر روی یک

صفحه در سطح خارجی جو (G_o) را در هر لحظه به دست آورد:

$$G_o = G_{sc} \left[1 + 0.033 \cos\left(\frac{360n}{365}\right) \right] \cos \theta \quad (۶)$$

برای محاسبه و تخمین مقدار تابش خورشیدی در طول روز در روی زمین مقدار انتگرال گیری شده تابش خورشیدی بر روی یک صفحه افقی در صورت فقدان جو یعنی H_0 مورد نیاز می‌باشد. با انتگرال گیری از رابطه (۶) و با استفاده از رابطه (۳) اگر G_{sc} بر حسب W/m^2 باشد، می‌توان H_o را به صورت رابطه (۷) بر حسب MJ/m^2 به دست آورد [۱۰]:

$$H_o = \frac{86400}{\pi} G_{sc} \left[1 + 0.033 \cos\left(\frac{360n}{365}\right) \right] \times \left[\cos \phi \cos \delta \sin \omega_s + \frac{2\pi\omega_s}{360} \sin \phi \sin \delta \right] \quad (۷)$$

چنانچه مقدار تابش سطح خارجی جو بر روی یک صفحه افقی به مدت یک ساعت محاسبه شود، باید از رابطه (۷) در یک فاصله زمانی یک ساعته که به وسیله زوایای ساعتی ω_1 و ω_2 مشخص می‌گردد ($\omega_1 < \omega_2$) انتگرال گیری نمود که در نتیجه، رابطه (۸) به دست می‌آید [۱۰]:

$$I_0 = \frac{12 \times 3600}{\pi} G_{sc} \left[1 + 0.033 \cos\left(\frac{360n}{365}\right) \right] \times \left[\cos \phi \cos \delta (\sin \omega_2 - \sin \omega_1) + \frac{2\pi(\omega_2 - \omega_1)}{360} \sin \phi \sin \delta \right] \quad (۸)$$

به نسبت تابش خورشید بر روی سطح زمین به تابش بیرون جو، شاخص وضوح یا ضریب صافی هوا می‌گویند که از رابطه (۹) محاسبه می‌شود.

$$K_T = \frac{H}{H_0} \quad (۹)$$

که H تابش روزانه روی سطح افق برای یک روز خاص و H_0 تابش روزانه خارج اتمسفر روی سطح افق برای همان روز می‌باشد. همچنین ضریب صافی (شاخص وضوح) ساعتی هوا k_T به صورت رابطه (۱۰) تعریف می‌گردد:

$$k_T = \frac{I}{I_0} \quad (۱۰)$$

که I تابش ساعتی روی سطح افق برای یک روز خاص و I_0 تابش ساعتی خارج اتمسفر روی سطح افق برای همان روز می‌باشد.

محاسبه میزان تابش روی سطح شیب‌دار

در این قسمت، روش‌هایی برای تقریب میزان تابش مستقیم و پراکنده از کل تابش افق بیان می‌شود. روش معمول همبسته کردن I_d/I (نسبتی از تابش ساعتی روی سطح افق که پراکنده شده است) به k_T (شاخص وضوح یا ضریب صافی هوا) می‌باشد. در رابطه (۱۱) همبستگی "اریز" آمده است [۱۰].

$$\frac{\bar{I}_d}{\bar{I}} = \begin{cases} 1.391 - 3.650\bar{K}_t + 4.189\bar{K}_t^2 - 2.173\bar{K}_t^3 & \text{if } \omega_s < 81.4 \\ 1.311 - 3.022\bar{K}_t + 3.427\bar{K}_t^2 - 1.821\bar{K}_t^3 & \text{if } \omega_s > 81.4 \end{cases} \quad (11)$$

در این محدوده، استفاده از ضریب پراکندگی 0.165 پیشنهاد می‌گردد.

مطالعات آماری بر روی توزیع زمانی تابش کلی بر روی سطح افق، با استفاده از داده‌های ماهانه در سایت‌های مختلف، منجر به نمودارهایی برای r_t ، نسبت تابش کلی ساعتی به تابش کلی روزانه، به صورت تابعی از طول روز و ساعت مورد مطالعه به صورت رابطه (۱۲) شده است:

$$r_t = \frac{I}{H} \quad (12)$$

نمودارهای بدست آمده برای r_t توسط سولارس [۱۴]، به صورت رابطه (۱۳) بیان گردید:

$$r_t = \frac{\pi}{24} (a + b \cos \omega) \frac{\cos \omega - \cos \omega_s}{\sin \omega_s - \frac{\pi \omega_s}{180} \cos \omega_s} \quad (13)$$

$$a = 0.4090 + 0.5016 \sin(\omega_s - 60)$$

$$b = 0.6609 - 0.4767 \sin(\omega_s - 60)$$

همانند r_t نمودارهای r_d (نسبت تابش پراکنده ساعتی به تابش پراکنده روزانه) به صورت تابعی از زمان و طول روز به دست می‌آیند. [۱۴]

$$r_d = \frac{\pi}{24} \frac{\cos \omega - \cos \omega_s}{\sin \omega_s - \frac{\pi \omega_s}{180} \cos \omega_s} \quad (14)$$

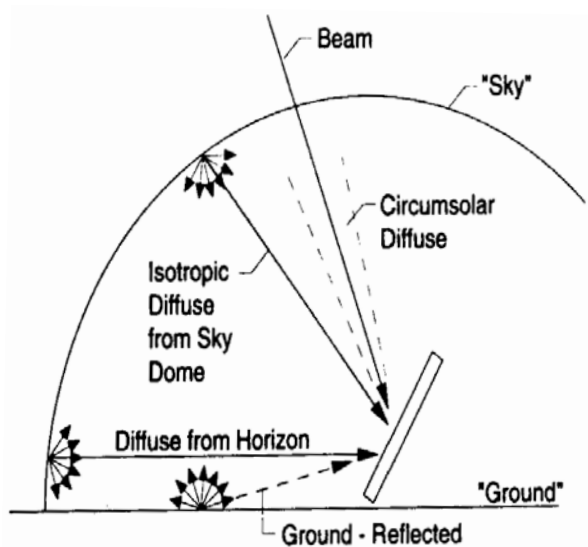
در این قسمت، در ابتدا به بررسی جهت هندسی تابش پراکنده، که خود تابعی از شرایط جوی و ابری بودن هواست، پرداخته می‌شود. شکل بخوبی این تابش‌ها را نشان داده است. سپس جهت تابش مستقیم با استفاده از رابطه (۱۵) به دست خواهد آمد:

$$\begin{aligned} I_b &= I - I_d \\ I &= r_t \bar{I} \\ I_d &= r_d \bar{I} \end{aligned} \quad (15)$$

با مشخص شدن k_T و با استفاده از رابطه (۱۱)، مقدار I_b به دست خواهد آمد. تابش کلی روی سطح از مجموع تابش مستقیم، سه قسمت تابش پراکنده از آسمان (ایزوتروپیک، دورخورشید گردنده، درخشش افقی) و تابش انعکاس یافته از سطوح مختلف که بر روی سطح شیبدار دیده می‌شود، به دست می‌آید. تابش کلی در رابطه (۱۶) تعریف می‌گردد:

$$I_T = I_{T,b} + I_{T,d,iso} + I_{T,d,cs} + I_{T,d,hz} + I_{T,refl} \quad (16)$$

که در آن، اندیس‌های T ، b ، d ، cs ، iso ، hz و $refl$ به ترتیب مربوط به تابش‌های کلی، مستقیم، پراکنده، ایزوتروپیک، دورخورشید گردنده، درخشش افقی و انعکاسی هستند.



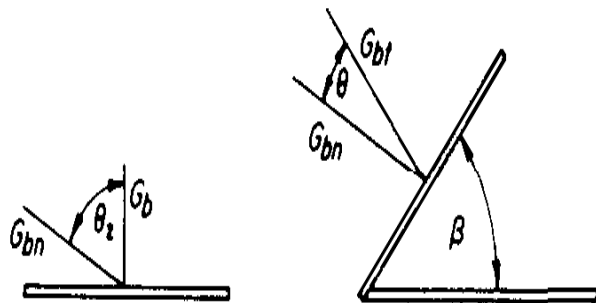
شکل ۳) تابش مستقیم و تابش‌های پراکنده

حال برای به دست آوردن تابش کل طبق رابطه (۱۶) باید از مدل های مطرح شده ایزوتروپیک، HDKR و مدل پرز انتخاب شود. از مدل پرز به علت پیچیدگی استفاده از آن صرف نظر می شود. مدل HDKR تقریباً همانند مدل ایزوتروپیک است و برای سطوح شیبدار مقابل استوا این روش پیشنهاد شده است. در این مقاله، از مدل ایزوتروپیک استفاده شده است که به صورت رابطه (۱۷) تعریف می شود: [۱۰]

$$I_T = I_b R_b + I_d \left(\frac{1 + \cos \beta}{2} \right) + I \rho g \left(\frac{1 - \cos \beta}{2} \right) \quad (17)$$

که بر حسب Mj/m^2 می باشد. ضریب هندسی R_b ، نسبت تابش مستقیم روی سطح شیبدار به تابش مستقیم روی سطح افق می باشد که به طور دقیق به صورت (۱۸) بیان می شود. در شکل (۴) زاویه تابش مستقیم روی سطح افق و شیب دار بوضوح نشان داده شده است:

$$R_b = \frac{G_{b,T}}{G_b} = \frac{G_{b,n} \cos \theta}{G_{b,n} \cos \theta_z} = \frac{\cos \theta}{\cos \theta_z} \quad (18)$$



شکل ۴) زاویه تابش مستقیم روی سطح افق و شیبدار

از طرفی، زاویه بهینه آزیموث برای کلکتورهای با سطح صاف صفر درجه در نیمکره شمالی و ۱۸۰ درجه در نیمکره جنوبی است. بنابراین، با جایگزینی روابط [۱۳]، ضریب هندسی R_b به صورت رابطه (۱۹) به دست می آید:

$$R_b = \frac{\cos \delta \cos(\phi - \beta) \sin \omega_s' + (\pi/180) \omega_s' \sin(\phi - \beta) \sin \delta}{\cos \delta \cos \phi \sin \omega_s + (\pi/180) \omega_s \sin \phi \sin \delta} \quad (19)$$

که در آن، ω'_s به صورت رابطه (۲۰) تعریف می‌شود:

$$\omega'_s = \min \left[\begin{array}{l} \arccos(-\tan \phi \tan \delta) \\ \arccos(-\tan(\phi - \beta) \tan \delta) \end{array} \right] \quad (20)$$

بنابراین، مقدار انرژی تابیده شده بر روی سطح کلکتور طی یک سال به صورت رابطه (۲۱) تعریف می‌گردد:

$$I_{T1} = \sum_{i=1}^{8760} \left(I_{bi} R_{bi} + I_{di} \left(\frac{1 + \cos \beta}{2} \right) + I_i \rho_g \left(\frac{1 - \cos \beta}{2} \right) \right) \quad (21)$$

ρ_g نیز ضریب انعکاس زمین، β زاویه شیب پانل می‌باشند. همچنین اندیس i مربوط به ساعت i ام محاسبه می‌باشد.

محاسبه میزان اثر سایه روی سطح شیب‌دار

در این بخش، قسمتی از آرایه فتوولتاییک که سایه افکنده شده، اثر آن سایه در نظر گرفته می‌شود. همانطور که در شکل (۱) مشخص است، روی ردیف اول سایه وجود ندارد. بنابراین، مقدار انرژی بدست آمده روی ردیف اول از رابطه (۲۱) به دست خواهد آمد. اما برای سایر ردیف‌ها به علت وجود سایه از رابطه (۲۲) استفاده می‌کنیم [۷].

$$I_{Tk} = \sum_{i=1}^{8760} [(1 - l_{si} \cdot h_{si}) I_{bi} R_{bi} + I_{di} R_d^{sh}] \quad (22)$$

که در آن، R_d^{sh} ضریب اصلاح برای تابش پراکنده روی کلکتورهایی است که سایه روی آنها وجود دارد و به صورت رابطه (۲۳) تعریف می‌شود [۲۲]:

$$R_d^{sh} = \cos^2 \beta / 2 - 1/2[(d^2 + 1)^{1/2} - d] \sin \beta \quad (23)$$

همچنین l_{si} و h_{si} به ترتیب طول و عرض سایه روی سطح کلکتور هستند که به صورت روابط (۲۴) و (۲۵) تعریف می‌شوند:

$$l_{si} = 1 - \frac{d \sin \beta + \cos \beta}{l} \times \frac{|\sin \gamma_i|}{\cos \beta \tan \alpha_i + \sin \beta \cos \gamma_i} \quad (24)$$

$$h_{si} = 1 - \frac{d \sin \beta + \cos \beta}{\cos \beta + [\sin \beta \cos \gamma_i / \tan \alpha_i]} \quad (25)$$

که در آن، d و l به ترتیب مقادیر نرمالیزه شده فاصله دو ردیف از هم و طول کلکتورها هستند که به صورت روابط (۲۶) و (۲۷) تعریف می‌شوند:

$$d = D / H \sin \beta \quad (26)$$

$$l = L / H \sin \beta \quad (27)$$

و α_i زاویه ارتفاع خورشید است که به صورت رابطه (۲۸) تعریف می‌شود:

$$\alpha_i = \arcsin(\cos \phi \cos \delta_i \cos \omega_i + \sin \phi \sin \delta_i) \quad (28)$$

مقدار کل انرژی تابیده روی آرایه‌های فتوولتاییک در یک مزرعه از مجموع انرژی تابیده شده روی ردیف اول و سایر ردیف‌ها به صورت رابطه (۲۹) تعریف می‌شود.

$$I_t = I_{T1} + I_{Tk} \quad (29)$$

مدل آرایه فتوولتاییک

مدل آرایه فتوولتاییک براساس فعالیت‌های «اوانز» است [۱۱] و برای بیشتر آرایه‌های فتوولتاییک رایج می‌باشد. یک آرایه به وسیله بازده میانگین (η_p) مشخص می‌گردد که از رابطه (۳۰) محاسبه می‌شود و تابعی از دمای مازول (T_c) می‌باشد:

$$\eta_p = \eta_r [1 - \beta_p (T_c - T_r)] \quad (30)$$

که در آن η_r ، بازده مازول فتوولتاییک در دمای مرجع ($T_r=25^{\circ}\text{C}$) و β_p ، ضریب دما برای بازده مازول می‌باشد. T_c به وسیله فرمول اوانز به متوسط دمای ماهانه محیط مربوط می‌شود و از رابطه (۳۱) به دست می‌آید:

$$T_c - T_a = (219 + 832 \bar{K}_T) \frac{NOCT - 20}{800} \quad (31)$$

که NOCT، دمای نامی عملیاتی سلول و \bar{K}_T ، شاخص وضوح ماهانه هستند. همچنین NOCT و β_p و η_r ، بسته به نوع پنل فتوولتاییک در نظر گرفته می‌شوند. این مقادیر توسط کاربر وارد می‌شوند و برای فناوری‌های استاندارد، به صورت مقادیر تقریبی داده شده در جدول ۲ هستند. [۱۹]

جدول ۲) مشخصات پنل فتوولتاییک برای فناوری استاندارد

PV module type	η_r (%)	NOCT($^{\circ}$ c)	P(%/ $^{\circ}$ c) β
Mono-Si	14	45	0.4
Poly-Si	14	45	0.4
a-Si	7	50	0.11
CdTe	9	46	0.24
CIS	9.5	47	0.46

رابطه فوق برای حالت بهینه زاویه شیب آرایه (برابر است با عرض جغرافیایی منهای زاویه انحراف خورشیدی) صادق است. اگر این زاویه از حالت بهینه خود جابجا شود، طرف راست رابطه (۳۱) باید در ضریب اصلاح C_f که به صورت (۳۲) تعریف می‌شود، ضرب گردد:

$$C_f = 1 - 1.17 \times 10^{-4} (S_M - \beta)^2 \quad (32)$$

که در آن، S_M زاویه شیب بهینه و β زاویه شیب واقعی می‌باشد و هر دو بر حسب زاویه هستند. انرژی تحویلی توسط آرایه فتوولتاییک از رابطه (۳۳) به دست می‌آید:

$$E_p = S \eta_p I_t \quad (33)$$

که در آن، S مساحت آرایه بر حسب متر مربع می‌باشد.

مدل متصل به شبکه ساده‌ترین مدل می‌باشد. در حالت خاص بدون بار سیستم مدل می‌گردد. اندازه اینورتر نیز بسادگی برابر با توان نامی آرایه پیشنهاد می‌گردد. انرژی در دسترس برای شبکه میزانی است که آرایه تولید کرده و باید تلفات اینورتر از آن کاسته شود که در رابطه (۳۴) نشان داده شده است:

$$E_{grid} = E_p \eta_{inv} \quad (34)$$

که در آن، η_{inv} بازده اینورتر است. بنابراین، انرژی کل الکتریکی تحویلی به شبکه توسط پانل‌های PV طی یک روز

از رابطه (۳۵) قابل محاسبه است:

$$E_{grid} = S\eta_{inv}I_t\eta_p \quad (35)$$

I_t میزان کل تابش بر سطح در زمان t برحسب MJ/m^2h می‌باشد. انرژی بدست آمده نیز برحسب مگاژول (MJ) خواهد بود.

بهینه‌سازی تابع هدف

در این بررسی، سعی بر این است که تابع هدف پیشنهادی بهینه شود. تابع هدف مورد نظر مساحت زمین است که متغیرهای مسأله بهینه‌سازی را برای به دست آوردن مساحت کمینه به دست خواهد آورد.

تابع هدف مساحت زمین

در این بخش، تابع هدف مورد استفاده برای تعیین حداقل مساحت زمین برای به دست آوردن انرژی داده شده از مزرعه با استفاده از فرمولاسیون ساعتی و در نظر گرفتن اثر سایه پنل‌های خورشیدی به دست می‌آید. در این بهینه‌سازی از نرم افزار MATLAB استفاده شده و متغیرهای ارتفاع کلکتور (H)، تعداد ردیف پنل‌ها (K)، فاصله بین پنل‌ها (D)، طول زمین (L)، عرض زمین (W)، زاویه شیب پنل (β) و بازده سلول‌های فتوولتائیک (η) که در شکل ۱ نشان داده شده، بهینه خواهند شد. تابع هدف مورد استفاده در این مقاله در رابطه (۳۶) آورده شده که بیانگر به دست آوردن متغیرهای مذکور در ازای کمینه کردن مساحت می‌باشد.

Minimize $L \times W$

مشروط به قیود زیر:

Subject to :

$$\left\{ \begin{array}{l} (K-1) \times D + K \times H \cos \beta \leq W \\ D \geq D_{\min} \\ H \leq H_{\max} \\ 2 \leq k \in /N \\ 0^\circ \leq \beta \leq 90^\circ \\ 5\% \leq \eta_r \leq 14\% \\ E \geq E_{\min} \\ L \leq L_{\max} \\ W \leq W_{\max} \\ a_1 \leq W / L \leq a_2 \end{array} \right. \quad (36)$$

در رابطه (۳۶)، D فاصله پنل‌های الکتریکی بر حسب متر، K تعداد ردیف پنل‌های الکتریکی، β زاویه شیب پنل الکتریکی بر حسب درجه و H عرض پنل‌های الکتریکی بر حسب متر می‌باشد.

البته این بهینه‌سازی می‌بایست مشروط به قیودی انجام شود. اولین قید مربوط به این است که چیدمان و ابعاد و زاویه پنل‌ها طوری انتخاب شوند که از پهنای زمین (W) بیشتر نشوند. دومین قید روی D مربوط به تعیین حداقل فاصله بین ردیف‌هاست که نباید از یک مقداری که مربوط به امور نگهداری است، کمتر گردد. قید مربوط به تعداد ردیف‌ها (K) نیز به این منظور است که تعداد ردیف‌ها بیشتر از ۱ شود. چون روند بهینه‌سازی به این ترتیب خواهد بود که برای حذف اثر سایه ردیف‌های جلویی تنها یک ردیف را به عنوان تعداد ردیف بهینه انتخاب خواهد کرد. قید مربوط به زاویه شیب پنل‌ها (β) به این منظور است که شیب پنل در صورتی که بیش از ۹۰ درجه شود، سلول‌های پنل به سمت زمین خواهند شد. سایر قیود مربوط به ابعاد و بازده کلکتورهای موجود خواهند بود.

قید E مربوط به حداقل انرژی سالانه مورد نیاز برای واحد مسکونی می‌باشد که در بخش ۲ به دست آمد. دو قید L و W مربوط به حداکثر زمین موجود می‌باشد. در نهایت، قید آخر مربوط به ایجاد یک زمین با طول و عرض استاندارد خواهد بود، یعنی نسبت عرض به طول زمین درون بازه مشخصی بین a_1 و a_2 قرار داشته باشد.

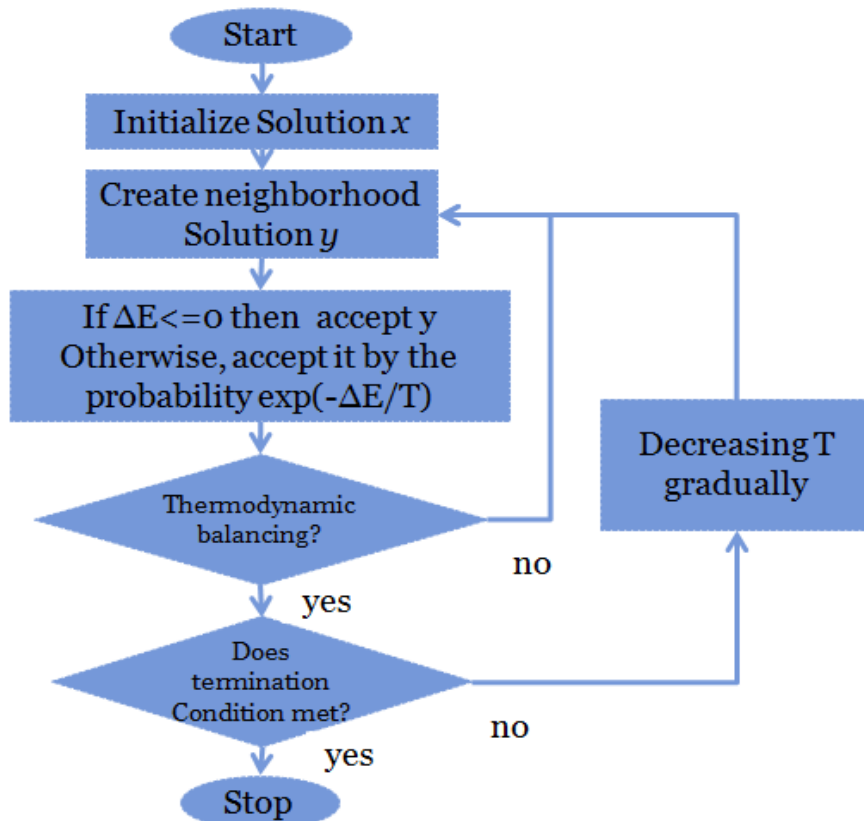
الگوریتم بهینه‌سازی SA

الگوریتم تبرید شبیه‌سازی شده یک الگوریتم بهینه‌سازی فرا ابتکاری ساده و اثربخش در حل مسائل بهینه‌سازی است. منشأ این الگوریتم (آبکاری فولاد و یا تبرید شبیه‌سازی شده)، کارهای کریک پاتریک و کرنی و همکارانشان در سال‌های ۱۹۸۳ و ۱۹۸۵ است. کریک پاتریک و همکارانش، متخصصانی در زمینه فیزیک آماری بودند که برای حل مسائل سخت بهینه‌سازی، روشی مبتنی بر تکنیک تبرید تدریجی پیشنهاد نمودند. در این قسمت الگوریتم سرد شدن تدریجی فلزات مورد استفاده در این مقاله برای طراحی مزرعه خورشیدی در ساختمان‌های مسکونی ارائه می‌شود. [۵]

مراحل مختلف الگوریتم پیشنهادی به این صورت می‌باشد که در ابتدا دریافت اطلاعات مربوط به پارامترهای سیستم میزان حداقل و حداکثر هر متغیر بهینه‌سازی که در رابطه (۳۶) مشخص است، صورت می‌گیرد. در گام بعد، اطلاعات و پارامترهای کنترلی مربوط به پیاده‌سازی الگوریتم بهینه‌سازی از قبیل حالت اولیه متغیرها، تعداد تولید حالت جدید در هر دم، دمای ذوب اولیه و برنامه زمانی کاهش دما (ضریب تدریجی دمای ذوب مذاب) مشخص می‌شود. دمای اولیه فلز مذاب برابر ۸۰۰ درجه، تعداد تولید حالت جدید در هر مرحله از برنامه زمانی دما ۴۰۰ دفعه و ضریب کاهش تدریجی دمای فلز مذاب برابر ۰/۹ تنظیم می‌شود. در این مرحله، یک حالت اولیه تصادفی تولید می‌شود.

در مرحله بعد، تولید یک حالت تصادفی جدید از متغیرهای بهینه‌سازی در همسایگی حالت قبلی صورت می‌گیرد. پس

از تعداد مشخصی تکرار در هر دما و حرکت تدریجی به سمت مقدار بهینه، دما با ضریب بیان شده کاهش یافته و مطابق الگوریتم نشان داده شده در شکل الگوریتم تکرار شده است.



شکل ۵) الگوریتم بهینه سازی سرد شدن فلزات (SA)

برای حل یک مسأله بهینه‌سازی، الگوریتم SA ابتدا از یک جواب اولیه شروع می‌کند و سپس در یک حلقه تکرار به جواب‌های همسایه حرکت می‌کند. اگر جواب همسایه بهتر از جواب فعلی باشد، الگوریتم آن را به عنوان جواب فعلی قرار می‌دهد (به آن حرکت می‌کند)، در غیر این صورت، الگوریتم آن جواب را با احتمال $\exp(-\Delta E/T)$ به عنوان جواب فعلی می‌پذیرد. در این رابطه، ΔE تفاوت بین تابع هدف جواب فعلی و جواب همسایه است و T یک پارامتر به نام دماست. در هر دما، چندین تکرار اجرا می‌شود و سپس دما به آرامی کاهش داده می‌شود. در گام‌های اولیه، دما خیلی بالا قرار داده می‌شود تا احتمال بیشتری برای پذیرش جواب‌های بدتر وجود داشته باشد. با کاهش تدریجی دما، در گام‌های پایانی، احتمال کمتری برای پذیرش جواب‌های بدتر وجود خواهد داشت و بنابراین، الگوریتم به سمت یک جواب خوب همگرا می‌شود.

[۵]

بهینه سازی تابع مورد مطالعه

در این قسمت، تابع هدف معرفی شده (رابطه ۳۶) برای شهر تهران با موقعیت جغرافیای $32/5^{\circ}N$ و $51,7^{\circ}E$ و ارتفاع ۱۵۵۰ متر از سطح دریا انجام داده می شود [6]. زمین مورد نظر در این بهینه سازی ابعاد بیشینه برابر با $W_{max}=10m$ و $L_{max}=20m$ دارد. در ضمن، حداقل انرژی مورد نیاز سالانه (E_{min}) برابر ۴ مگاوات ساعت می باشد. مقادیر $d_{min}=1m$ و $H_{max}=1m$ در نظر گرفته شده است. دمای هوا و شاخص وضوح از [۶] و [۲] به دست خواهند آمد. همچنین a_1 , a_2 نیز به ترتیب ۱ و $0/3$ هستند. جدول (۳) مشخصات ماژول و اینورتر استفاده شده در مسأله را نشان می دهد.

جدول (۳) مشخصات ماژول و اینورتر

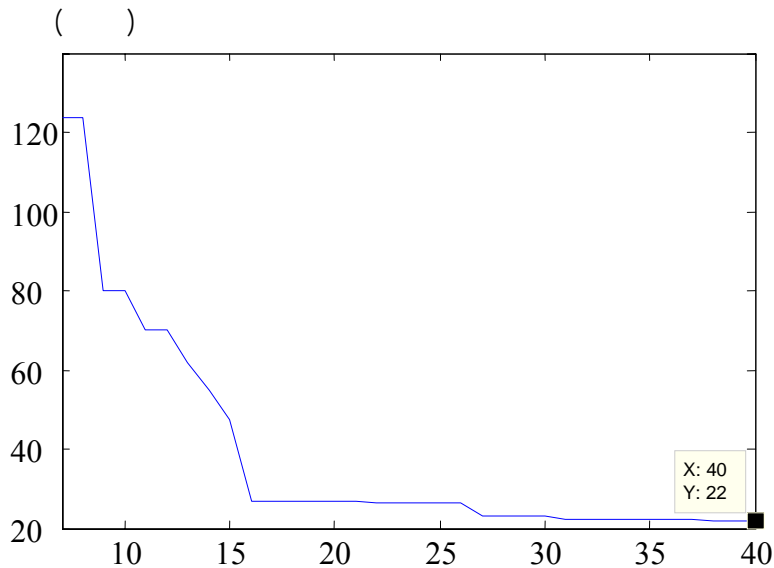
شرح	وضعیت	واحد
نوع سلول فتولتاییک	پلی کریستالین سیلیکون	-
سازنده	SUNTECH	-
مدل	poly-Si - STP240 -	-
بازده سلول	۱۴	%
NOCT	۴۵	$^{\circ}C$
β_p	۰/۴	$\%/^{\circ}C$
آزیموت	۰	درجه
نوع پایه	ثابت	-
بازده اینورتر	۹۵	%

جدول (۴) نتایج اجرای برنامه بهینه سازی را نشان می دهد. همانطور که مشاهده می شود، به ازای بازده ۱۴٪ پنل های خورشیدی و بیشترین ارتفاع پنل ها، مقدار انرژی بهینه و متغیرهای طراحی پنل به دست آمده است. در ضمن، کمترین فاصله بین ردیف ها به منظور قرار دادن تعداد ردیف بیشتر در مزرعه انتخاب گردید.

جدول ۴) نتایج حاصل از اجرای برنامه بهینه‌سازی

D(m)	K	β (degrees)	H(m)	η_r (%)	L(m)	W(m)	E_{min} (MWh)	Solar Field Area (m^2)
1	3	31.1	1	14	4.8	4.6	4	22

در شکل (۶) سرعت همگرایی الگوریتم سرد شدن تدریجی فلزات به بهینه‌ترین جواب برای این تابع هدف نشان داده شده است.



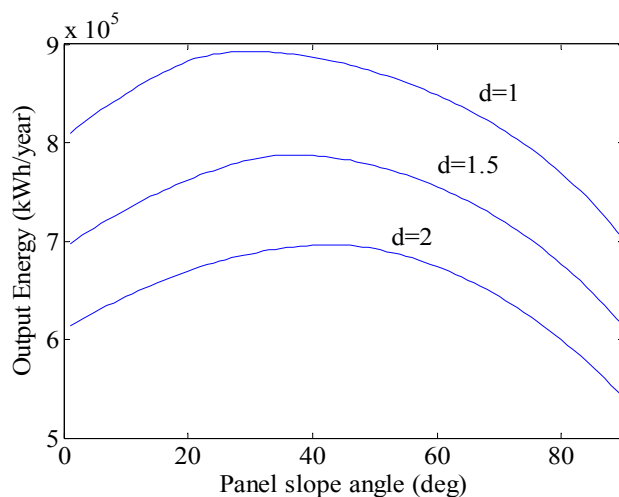
شکل ۶) روند بهینه‌سازی تابع هدف مساحت با استفاده از الگوریتم SA

تجزیه و تحلیل حساسیت نسبت به آرایش پنل‌های خورشیدی

در این قسمت، میزان حساسیت انرژی خروجی نیروگاه خورشیدی به ازای زاویه شیب پنل‌های خورشیدی β و فاصله بین ردیف‌ها d در دو شکل (۷) و (۸) نشان داده شده است.

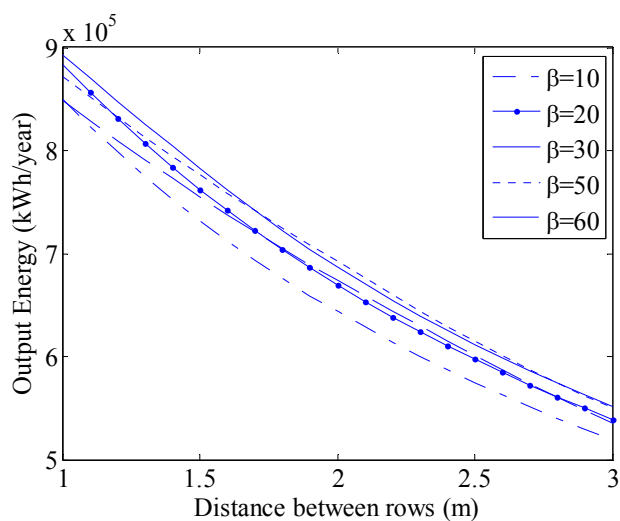
همانطور که در شکل (۷) دیده می‌شود، به ازای $\beta=31$ و $d=1$ میزان انرژی خروجی نیروگاه خورشیدی بهینه می‌باشد. لازم به ذکر است که در این مسأله $d_{min}=1$ m در نظر گرفته شده که این فاصله برای انجام امور تعمیرات و

نگهداری پنل‌های الکتریکی معمولاً در نظر گرفته می‌شود. به همین علت، نمودارها برای فواصل کمتر از ۱ متر آورده نشده است.



شکل ۷) حساسیت انرژی خروجی نیروگاه خورشیدی به شیب پنل

در این نقطه، انرژی بهینه‌ترین مقدار را داشته که همان خروجی بهینه‌سازی مورد استفاده می‌باشد. با توجه به حداقل فاصله در نظر گرفته شده برای این مسأله، طبیعی است که فاصله بین پنل‌ها را به کمترین حد ممکن کاهش داده و در ازای آن تعداد پنل‌های الکتریکی را افزایش داد.



شکل ۸) حساسیت انرژی خروجی نیروگاه خورشیدی به فاصله بین پنل

در شکل (۸) مشاهده می‌شود که به ازای دامنه تغییرات d ، مقدار انرژی خروجی نیروگاه خورشیدی به چه صورت تغییر می‌کند. همانطور که مشاهده می‌شود، در برخی نقاط به ازای فاصله بین پنل‌های الکتریکی در زاویه شیب‌های مختلف میزان سطح انرژی خروجی به صورت نامنظم تغییر می‌کند که به دلیل تغییر تعداد ردیف پنل‌های الکتریکی (K) می‌باشد.

نتیجه گیری

در این بررسی، کمترین مساحت لازم برای تأمین انرژی الکتریکی یک واحد مسکونی با توان مصرفی مشخص در شهر تهران از طریق پنل‌های فتوولتائیک و همچنین انرژی سالانه با استفاده از مجموع تابش ساعتی خورشید و در نظر گرفتن اثر سایه متقابل پنل‌ها روی یکدیگر به دست آمد. با توجه به ماهیت غیرخطی تابع هدف و قیود آن و همچنین حجم بالای محاسبات، نتایج حاکی از سرعت بالای همگرایی پاسخ در الگوریتم بهینه‌سازی SA بود. در نهایت، حالت بهینه چیدمان به صورت ۳ ردیف با زاویه شیب بهینه ۳۱ درجه استخراج شد. در این شرایط، مساحت لازم برای احداث سیستم فتوولتائیک بدون در نظر گرفتن اتاق باتری‌خانه و اینورتر برابر ۲۲ متر مربع به دست آمد. لذا برای یک ساختمان با ۸ واحد مسکونی، مساحتی در حدود ۱۸۰ متر مربع پشت بام به صورت خالص لازم می‌باشد. با توجه به محدود بودن ساختمان‌هایی با چنین فضای، امکان نصب این سیستم در بافت متراکم شهری با فناوری کنونی امری بعید به نظر می‌رسد. با توجه به بررسی بعمل آمده، سیستم‌های برق خورشیدی صرفاً برای منازل مسکونی ویلایی یا به عبارتی تک واحدی قابل نصب و راه‌اندازی خواهد بود.

منابع

- [۱] بهادری نژاد م.، فرهنگند ب.، "طراحی و بررسی اقتصادی سیستم برق خورشیدی برای یک ساختمان اداری در تهران"، بیست و یکمین کنفرانس بین‌المللی برق، تهران ۱۳۸۵.
- [۲] بهادری نژاد مهدی، و میر حسینی عباس، "ضریب صافی هوا برای شهرهای مختلف ایران"، سومین کنفرانس مصرف سوخت در ساختمان، تهران، صفحه ۶۰۳ تا ۶۱۹. بهمن ۱۳۸۲.
- [۳] شمس م. ح.، کیا م. و همکاران، "بهینه‌سازی تولید در نیروگاه فتوولتائیک متصل به شبکه با کلکتورهای ثابت با استفاده از الگوریتم بهینه‌سازی ازدحام ذرات (PSO)"، بیست و ششمین کنفرانس بین‌المللی برق، تهران، ۱۳۹۰.
- [۴] گلکار م.، مدرسی ج.، "تعیین زاویه‌ی بهینه‌ی پنل‌های خورشیدی ثابت برای دریافت بیشترین تابش در شبکه‌های توزیع انرژی در شهرهای مختلف ایران"، هفدهمین کنفرانس شبکه‌های توزیع، تهران، ۱۳۹۱.
- [۵] یقینی مسعود، اخوان کاظم زاده محمد رحیم الگوریتم‌های بهینه‌سازی فراابتکاری/تالیف. جهاد دانشگاهی واحد صنعتی امیر کبیر.

- [6] Available on <http://eosweb.larc.nasa.gov/>.
- [7] Bany, J., and Appelbaum, J., 1987, "The Effect of Shading on the Design of a Field of Solar Collectors," *Sol. Cells*, 20, pp. 201–228.
- [8] Barra, O., Conti, M., Santamata, E., Scarmozzino, O., and Visentin, R., 1977, "Shadow Effect in Large Solar Collectors in Large Scale Solar Power Plants," *Sol. Energy*, 19, pp. 759–762.
- [9] Collares-Pereira, M. and A. Rabl, "the average distribution of solar radiation – correlations between diffuse and hemispherical and between daily and hourly insolation values", *solar energy*, 22, page 155, 1979.
- [10] Duffie J.A, and W.A, Beckman, "Solar engineering of thermal processes", John Wiley & Sons, Inc., New York, second edition, 1991.
- [11] Evans, D.L., 'simplified method for predicting photovoltaic array output', *solar energy* 27, pages 555-560, 1981.
- [12] Kornelakis A., Y. Marinakis, "Contribution for optimal sizing of grid-connected PV-systems using PSO", *Renewable Energy*, Vol. 35, pp. 1333–1341, 2010.
- [13] Gopinathan, K., 1991, "Optimization of the Angle of Solar Collectors for Maximum Irradiation on Sloping Surfaces," *Int. J. Sol. Energy*, 10, pp. 51–61.
- [14] Liu, R. Jordan, "the interrelationship and characteristic distribution of direct, diffuse and total solar radiation, *solar energy*, 4, page 1, 1960.
- [15] Mellit A., A. Kalogirou, 'artificial intelligence techniques for photovoltaic applications: a review' *progress in energy and combustion science* 34 pages 574–632, 2008.
- [16] Mellit A., A. Kalogirou, L. Hontoria, S. Shaari, 'Artificial intelligence techniques for sizing photovoltaic systems: A review' *Renewable and sustainable energy reviews* 13, pages 406–419, 2009.
- [17] Mnassri M., A. St. Leger, 'Stand Alone photovoltaic solar power generation system: A case study for a remote location in tunisia' *power and energy society general meeting*, 2010 IEEE, pages 1 - 4, 2010.
- [18] Phyto Naing L., D. Srinivasan, 'estimation of solar power generating capacity' probabilistic methods applied to power systems (PMAPS), 2010 IEEE 11th international conference on, pages 95 - 100, 2010.
- [19] pvsyst user guide available at <http://www.pvsyst.com/>.
- [20] RETScreen user guide available at <http://www.etscreen.com/>.
- [21] Shi Y. and R.C. Eberhart, 'Empirical study of particle swarm optimization', in *proceedings of the IEEE congress on evolutionary computation (CEC)*, pages 1945-1950, 1999.
- [22] Weinstock, D., and Appelbaum, J., 2004, "Optimal Solar Field Design of Stationary Collectors," *ASME J. Sol. Energy Eng.*, 126, pp. 898–905.